

水平管道中冰浆流动的三层模型

刘永红

(上海水产大学, 200090)

摘 要 本文建立了冰浆在水平管道中流动的三层唯象模型,可以求解冰浆流动时管道断面的冰晶粒子浓度分布和流动时的压降,为实际工程应用提供了计算依据。文中还给出了一个计算实例。

关键词 冰浆, 流动, 三层模型

在现代冰蓄冷空调和城市区域供冷中,冰浆是一种有效的蓄冷和输送冷量的介质。所谓冰浆,就是冰晶粒子和乙二醇水溶液的一种复杂混合物,其流动是一种液-固两相流动。对于实际工程应用,压降被认为是最重要的参数。然而,人们对冰浆的流动特性了解甚少,虽然有一些零星的实验研究[Knodel B. D., 1988; Terence Graham, 1989],但理论研究未见报道。冰浆在水平管道中流动时,由于冰晶粒子的密度比乙二醇水溶液的密度小,冰晶粒子所受到的浮力比其重力大,因而冰晶粒子在管道顶部趋于积集状态,而流体的紊流力又使之趋于无规则地悬浮于横断面。在冰浆平均流速很大时,由于强紊流,冰晶粒子几乎对称地均匀悬浮着;当平均流速减小,减小了紊流的扩散力并在管道顶部产生冰晶粒子的高浓度区;若平均流速进一步减小,冰晶粒子可能在管顶形成滑动的沉积物,甚至静止层,同时其下形成一个悬浮层;如果平均流速再进一步减小,静止层就趋于稳定。据此,本文从理论上建立了冰浆在水平管道中流动的三层唯象模型,可以方便地求得水平管道中的压降,为实际工程应用提供了计算依据。

1 冰浆流动的三层模型

三层模型如图1所示,管顶是静止层 I,其下是运动床 II,运动床下面是多相混合物 III。

假设冰浆在水平管道中流动时,在一定的总质量流量下,在管道中已形成三层:管顶的静止床层 I,其高度为 y_{st} ;紧贴其下是运动床层 II,其高度为 y_{mb} ;管底是多相混合物层 III,其高度为 y_h (如图1所示)。设每层中的流动用平均特性(如平均速度与平均浓度)来表示,且忽略各层中两相间滑移(如把每层中固定粒子的平均速度看作和液相的平均速度相等),这一假设得到过详细的论证[Doron, P., 1992]。而且假设冰晶粒子在流动过程中不发生相变。

1.1 连续性方程

$$\text{对固相粒子} \quad U_h C_h A_h + U_{mb} A_{mb} = U_s C_s A \quad (1)$$

$$\text{对于液相} \quad U_h (1 - C_h) A_h + U_{mb} (1 - C_{mb}) A_{mb} = U_s (1 - C_s) A \quad (2)$$

式(1)和(2)中, U 是平行于管轴的速度; C 是固体粒子相的体积浓度; A 是管道截面积; 下标 h 和 mb 分别表示多相混合物层和运动床层; U_c 是冰浆的面积平均速度(冰浆总质量流量除以面积 A); C_c 是冰浆进口浓度; A_h 和 A_{mb} 分别表示管道横截面中多相混合物层和运动床层分别占据的面积。

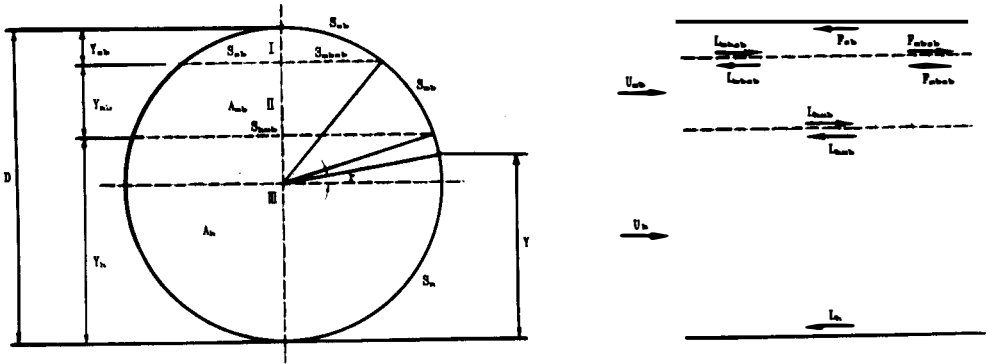


图1 三层模型原理图
Fig. 1 Schematic diagram of three-layer model

1.2 动量平衡方程

1.2.1 多相混合物层

假设该层中混合物看作是准流体, 则

$$A_h \frac{dp}{dx} = -\tau_h S_h - \tau_{hmb} S_{hmb} \tag{3}$$

式中, $\frac{dp}{dx}$ 是压降, τ_h 和 τ_{hmb} 分别为作用于周边 S_h 和 S_{hmb} 上的剪切应力。

管道周边的剪切应力为

$$\tau_h = \frac{1}{2} \rho_h |U_h| U_h f_h \tag{4}$$

运动床层和多相混合物层间的切应力为

$$\tau_{hmb} = \frac{1}{2} \rho_h |U_h - U_{mb}| (U_h - U_{mb}) f_{hmb} \tag{5}$$

ρ_h 是多相混合物层中的实际密度

$$\rho_h = \rho_s C_h + \rho_L (1 - C_h) \tag{6}$$

ρ_s 和 ρ_L 分别为固相粒子和流体的密度。管壁摩擦系数为

$$f_h = \alpha_h Re_h^{-\beta_h} \tag{7}$$

式中, α_h, β_h 为常数, 一般由实验确定 [Televantos, Y., 1979]。

对于层流, $\alpha_h = 16, \beta_h = 1$; 对紊流, $\alpha_h = 0.046, \beta_h = 0.2$ 。

$$Re = \frac{\rho_h U_h D_h}{\mu_L} \tag{8}$$

$$D_h = \frac{4A_h}{S_h + S_{hmb}} \tag{9}$$

μ_L 是流体的粘性系数。

两层之间的摩擦系数采用 Colebrook 的粗糙管壁公式,考虑到粒子的运动和沉积,对 Colebrook 公式乘以2,即

$$\frac{1}{\sqrt{2f_{hmb}}} = -0.86 \ln \left(\frac{d_p/D_h}{3.7} + \frac{2.51}{Re_h \sqrt{2f_{hmb}}} \right) \quad (10)$$

式中假设作用面粗糙度和粒子粒径一致。

1.2.2 运动床层

$$A_{mb} \frac{dp}{dx} = -F_{mbab} - \tau_{mhbb} S_{mhbb} - F_{mb} - \tau_{mb} S_{mb} + \tau_{hmb} S_{hmb} \quad (11)$$

式中, F_{mbab} 是作用在运动床和静止床之间的作用面 S_{mbab} 上的固相摩擦力; τ_{mhbb} 是作用在界面 S_{mhbb} 上的剪切应力; F_{mb} 是作用在运动床和管壁间 S_{mb} 上的固相摩擦力; τ_{mb} 是作用在 S_{mb} 上的剪切应力。

运动床和管壁间的剪切应力为

$$\tau_{mb} = \frac{1}{2} \rho_L |U_{mb}| U_{mb} f_{mb} \quad (12)$$

运动床和静止床之间的剪切应力为

$$\tau_{mhbb} = \frac{1}{2} \rho_L |U_{mb}| U_{mb} f_{mhbb} \quad (13)$$

管壁摩擦系数 f_{mb} 的计算和式(7)的方法相似,但是,

$$Re_{mb} = \frac{\rho_L U_{mb} D_{mb}}{\mu_L} \quad (15)$$

$$D_{mb} = \frac{4A_{mb}}{S_{mb} + S_{mhbb} + S_{hmb}} \quad (16)$$

两床层间的摩擦系数 f_{mhbb} 和式(10)的计算方法相似。

运动床中固相粒子作用在管壁上的固相摩擦力 F_{mb} 由两部分的效应组成: 粒子浸没重力 F_{wmb} 和作用面上的应力传递 $F_{\phi mb}$, 即

$$F_{mb} = F_{wmb} + F_{\phi mb} \quad (17)$$

F_{mb} 采用固体粒子的浸没重力表示的流体压力分布来计算,在周边 S_{mb} 上对这种压力分布进行积分,有

$$F_{wmb} = 2\eta \int_{\frac{\pi}{2} - (\theta_{mb} - \theta_{sb})}^{\frac{\pi}{2} - \theta_{sb}} (\rho_L - \rho_s) g C_{mb} \left(\frac{D}{2}\right)^2 \left\{ \left[1 - \frac{2(y_{mb} + y_{sb})}{D} - \sin r \right] dr \right\} \quad (18)$$

式中, η 是固相动摩擦系数; D 是管径; y_{mb} 、 y_{sb} 分别为运动床和静止床高度; θ_{mb} 、 θ_{sb} 是角度,见图1。

作用在 S_{hmb} 上的剪切应力和法向应力 τ_N 有关。根据 Bagnold 的模型,法向应力 τ_N 是由于应力从界面到床层粒子的传递,当流体在沉积粒子下流动时,在交界面处存在法向应力,该力与流体产生的剪切力有关,即

$$\tau_N = \frac{\tau_{hmb}}{\tan(\Phi)} \quad (19)$$

式中, Φ 为内摩擦角, $\tan(\Phi)$ 值根据流体类型和粒子特性在 0.35—0.75 之间变化,所以

$$F_{\phi mb} = \eta \frac{\tau_{hmb} S_{hmb}}{\tan(\Phi)} \quad (20)$$

在界面 S_{mbab} 上的固相粒子摩擦力 F_{mbab} 和以上的方法相似,有

$$F_{mbab} = F_{wmbab} + F_{\Phi mbab} \quad (21)$$

式中,粒子的浸没重力效应为

$$F_{wmbab} = \eta(\rho_L - \rho_S)gC_{mb}y_{mb}S_{mbab} \quad (22)$$

从界面的传递应力为

$$F_{\Phi mbab} = \eta \frac{\tau_{hmb}S_{mbab}}{\tan(\Phi)} \quad (23)$$

1.2.3 静止床

为保证整个床层不作整体滑动,作用其上的驱动力不能超过最大阻力。驱动力包括压力降和界面间的剪切力,因此,

$$A_{sb} \frac{dp}{dx} + F_{mbab} + \tau_{mhsb}S_{mhsb} \leq F_{sb} \quad (24)$$

式中, A_{sb} 是固定床的横截面积, F_{sb} 是静止床周边 S_{sb} 上的固相摩擦阻力,且有

$$F_{sb} = F_{wsb} + F_{\Phi sb} \quad (25)$$

$$F_{wsb} = 2\eta_s \int_{\frac{\pi}{2} - \theta_{sb}}^{\frac{\pi}{2}} (\rho_L - \rho_S)gC_{sb} \left(\frac{D}{2}\right)^2 \left\{ \left[\left(1 - \frac{2y_{sb}}{D}\right) - \sin r \right] dr \right\} \quad (26)$$

$$F_{\Phi sb} = \eta_s \frac{\tau_{hsb}S_{sb}}{\tan(\Phi)} \quad (27)$$

式中, η_s 是固相粒子的静摩擦系数; C_{sb} 是静止床浓度。

1.3 扩散

根据守恒方程,应当考虑多相混合物层中固相粒子的扩散过程。假设这一过程为紊流扩散过程,它是由大尺度旋涡控制并使流动趋于各向同性,因此导致冰晶粒子从高浓度区向低浓度区运动。例如,从运动床层向下运动。这种趋势由浸没重力来平衡。所以,多相混合物层中,冰晶粒子的扩散可由扩散方程来表达,即:

$$\epsilon \frac{d^2C(y)}{dy^2} + w \frac{dC(y)}{dy} = 0 \quad (28)$$

式中, $C(y)$ 是多相混合物层中局部体积浓度; y 是竖向坐标(垂直于管轴); ϵ 是局部扩散系数; w 是粒子的沉降末速度。

若假设多相混合物层和运动床层介面处浓度等于运动床层浓度,即

当 $y = D - (y_{sb} + y_{mb})$ 时, $C(y) = C_{mb}$

对式(28)积分,可得

$$C(y) = C_{mb} \exp\left\{ -\frac{w[y - (D - y_{mb} - y_{sb})]}{\epsilon} \right\} \quad (30)$$

假设传质系数和动量传递系数近似相等,那么,横断面上的扩散系数 ϵ 可按式(31)来求 [Doron, P., 1987]

$$\epsilon = 0.052U^*r \quad (31)$$

式中, r 是多相混合物层的当量水力半径, U^* 是剪切速度。

$$U^* = U_b / \sqrt{\frac{f_{hmb}}{2}} \quad (32)$$

单一冰晶粒子的沉降末速度 W_0 可通过浸没重力和阻力平衡来求,即

$$W_0 = \sqrt{\frac{4(\rho_L - \rho_S)d_p g}{3\rho_L C_D}} \quad (33)$$

式中, C_D 取决于粒子雷诺数 Re_p , $Re_p = \rho_L W_0 d_p / \mu_L$ 。

对于粒子群的沉降末速度 W 可按下式来求[Doron, P., 1987]:

$$W/W_0 = (1 - C_h)^m \quad (34)$$

指数 m 取决于粒子群雷诺数 Re_w , $Re_w = \frac{\rho_L W d_p}{\mu_L}$ 。

从图1可知, $y = \frac{D}{2} + \frac{D}{2} \sin r$, $dy = \frac{D}{2} \cos r dr$

多相混合物层的平均浓度 C_h 可通过对式(28)积分, 即

$$C_h(y) = \frac{1}{A_h} \int_0^{D - (y_{mb} + y_{sb})} C(y) D \cos r dr \quad (35)$$

$$\frac{C_h}{C_{mb}} = \frac{2(\frac{D}{2})^2}{A_h} \int_{-\frac{\pi}{2}}^{\frac{\pi}{2}(\theta_{mb} + \theta_{sb})} \cos^2 r \exp\left\{-\frac{WD}{2\epsilon} \left[\frac{2(y_{mb} + y_{sb})}{D} - 1 + \sin r\right]\right\} dr \quad (36)$$

2 应用算例

对于实际工程应用, 充分悬浮流动最为常见。本文给出一个计算例子。此时,

$$\frac{dp}{dx} = \frac{2}{D} \rho_M U_s^2 f_M \quad (37)$$

管道断面冰晶粒子的浓度分布为

$$C(y) = C_B \exp\left[-\frac{W(D-y)}{\epsilon}\right] \quad (38)$$

$$C_B = \frac{\pi C_S / 2}{\int_{-\frac{\pi}{2}}^{\frac{\pi}{2}} \cos^2 r \exp\left[-\frac{WD}{\epsilon}(\sin r - 1)\right] dr} \quad (39)$$

2.1 管道横断面的冰晶粒子的浓度分布

根据冰浆流动的三层模型, 可以计算出充分悬浮流动时, 管道横断面的冰晶粒子的浓度分布。定义含冰率为冰浆中冰晶粒子质量占冰浆总质量的百分数(IPF)。各种 IPF 时的管道断面浓度分布的计算结果见图2。图中横坐标是相对距离 Y/D , 其中 D 是管径, Y 是垂直于管轴距管底的高度; 纵坐标是管道中各位置的局部含冰浓度。

2.2 水平管道中的压降

根据以上所述, 可以求得冰浆在水平管道中流动的压降。图3给出了一个计算例子的结果, 其中, 管径 $D = 0.025m$ 。

3 结论

对于任何运动工况, 采用三层模型, 即式(1)–(3)、(11)、(36)五个方程, 可求解五个未知数: U_h , C_h , y_{mb} 和 dp/dx , 模型封闭。文中还给出了一个应用三层模型计算的实例。

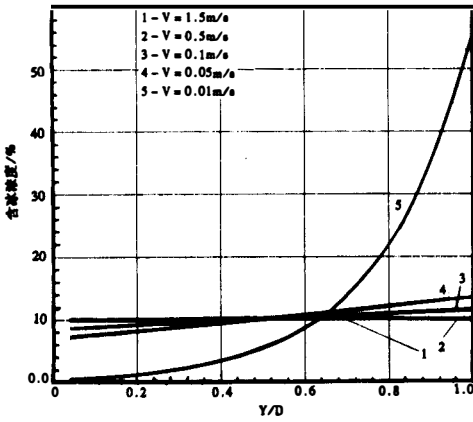


图2 IPF=10%时的断面浓度分布图
Fig. 2 Concentration distribution diagram
in pipe cross with IPF=10%

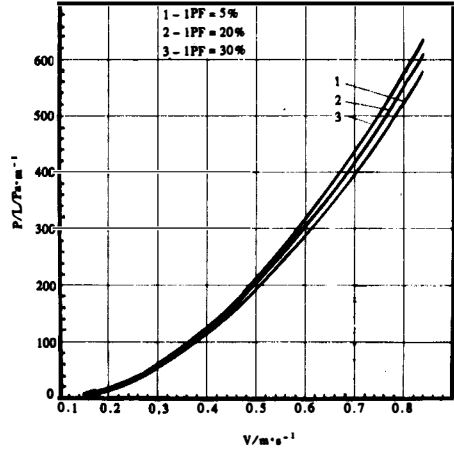


图3 冰浆在水平管道中流动的阻力
Fig. 3 Friction loss characteristics
of pipe with ice slurry

参 考 文 献

- [1] Doron, P., 1987. Slurry flow in horizontal pipes-experimental and modeling. *Int. J. Multiphase Flow*, 13(4):535-547.
- [2] Doron, P., 1992. Effect of the no-slip assumption on the prediction of solid-liquid flow characteristics. *Int. J. Multiphase Flow*, 18(4):617-622.
- [3] Knodel, B. D., 1988. Pressure drop characteristics of ice/water slurry horizontal flow. 15-89. University of Illinois, M. Sc. Thesis.
- [4] Televantos, Y., 1979. Flow of slurries of coarse particles at high solids concentrations. *Can. J. Chem. Engng.* 57: 255-262.
- [5] Terence Graham, 1989. Application of crystal ice generation in district heating and cooling. *Proceeding of the 80th IDHCA*, 246-258. Virginia Beach, Virginia. USA.

THREE-LAYER MODEL FOR ICE SLURRY FLOWING IN HORIZONTAL PIPES

Liu Yong-hong

(Shanghai Fisheries University, 200090)

ABSTRACT In modern air conditioning with ice cooling storage and district cooling, ice slurry is a kind of effective material for cooling storage and for transmitting cool thermal energy. To design the pipe system, its friction loss characteristics in pipes are very important. In this paper, a three-layer model for ice slurry flowing in horizontal pipes has been presented, and an calculation example has also been made.

KEYWORDS ice slurry, flowing, three-layer model